

สรุปสถานการณ์ (Synopsis) อัปเดตเมื่อ 11 มิถุนายน 2569

ภาวะเอลนีโญ (El Niño) ได้ก่อตัวขึ้นแล้ว และคาดว่าจะทวีกำลังแรงขึ้นต่อเนื่องไปจนถึงช่วงฤดูหนาวของซีกโลกเหนือ ปี 2026–27

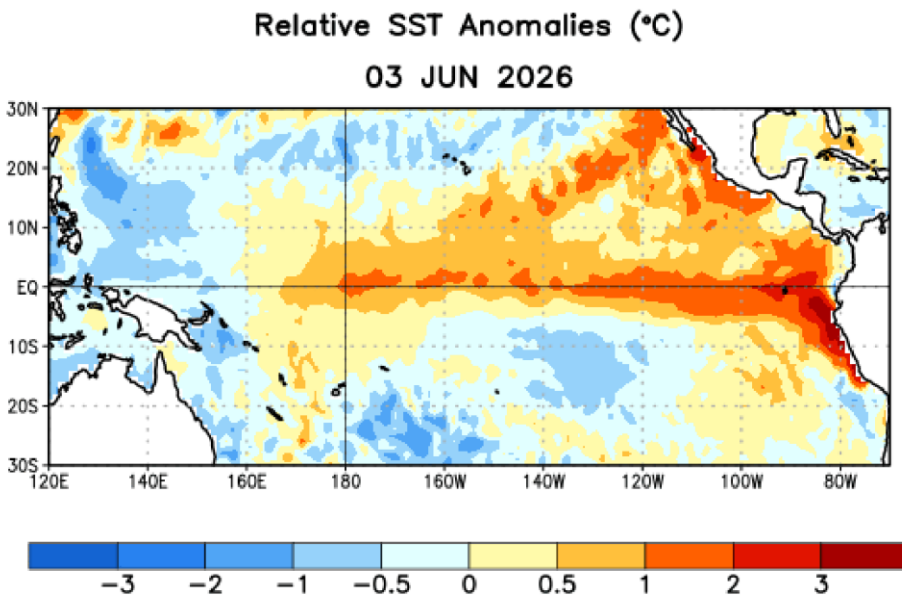


Figure 1. Average relative sea surface temperature (SST) anomalies (°C) for the week centered on 3 June 2026. Anomalies are computed with respect to the 1991-2020 base period weekly means.

ที่มา: National Weather Service. เข้าถึงจาก https://www.cpc.ncep.noaa.gov/products/analysis_monitoring/enso_advisory/ensodisc.shtml

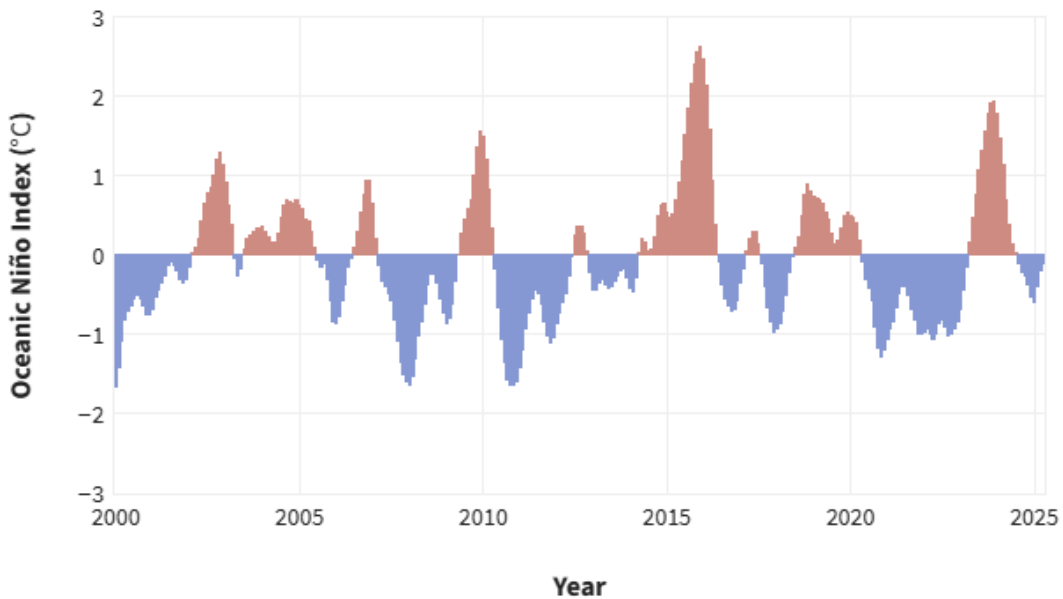
ภาวะเอลนีโญได้พัฒนาขึ้นในช่วงเดือนที่ผ่านมา โดยสังเกตได้จาก อุณหภูมิผิวน้ำทะเล (SST) ที่สูงกว่าค่าปกติ ในบริเวณมหาสมุทรแปซิฟิกเขตร้อนตอนกลางถึงตะวันออก (Figure 1)

อุณหภูมิผิวน้ำทะเล (Sea Surface Temperature: SST) เป็นปัจจัยหลักที่กำหนดการตอบสนองของบรรยากาศต่อมหาสมุทร ทั้งในระดับสภาพอากาศระยะสั้น (Weather) และสภาพภูมิอากาศระยะยาว (Climate)

ทั้งค่า SST และความแตกต่างของ SST ในแนวราบ (Horizontal SST Gradients) จึงมีความสำคัญต่อการเชื่อมโยงระหว่างมหาสมุทรและบรรยากาศ (Ocean–Atmosphere Coupling) ซึ่งเป็นปัจจัยสำคัญสำหรับการพยากรณ์อากาศและภูมิอากาศในช่วงเวลาตั้งแต่ระดับรายสัปดาห์ถึงระดับฤดูกาล (Sub-seasonal to Seasonal Prediction)

The Oceanic Niño Index (ONI)

อุณหภูมิผิวน้ำทะเลเฉลี่ยตามฤดูกาล (ค่าเฉลี่ย 3 เดือน) ในบริเวณตอนกลางของมหาสมุทรแปซิฟิกเขตร้อน เมื่อเปรียบเทียบกับค่าเฉลี่ยในช่วงปี 1981–2010 โดยการที่**อุณหภูมิผิวน้ำทะเลสูงกว่าหรือต่ำกว่าค่าปกติอย่างน้อย 0.5 องศาเซลเซียส บริเวณใกล้เส้นแบ่งเขตวันสากล (International Dateline)** ถือเป็นหนึ่งในเกณฑ์ที่ใช้ติดตามภาวะเอลนีโญและลานีญา ภาพจาก NOAA Climate.gov ซึ่งจัดทำจากข้อมูลของ Climate Prediction Center



ที่มา: National Weather Service. เข้าถึงจาก <https://www.climate.gov/news-features/understanding-climate/climate-variability-oceanic-nino-index>

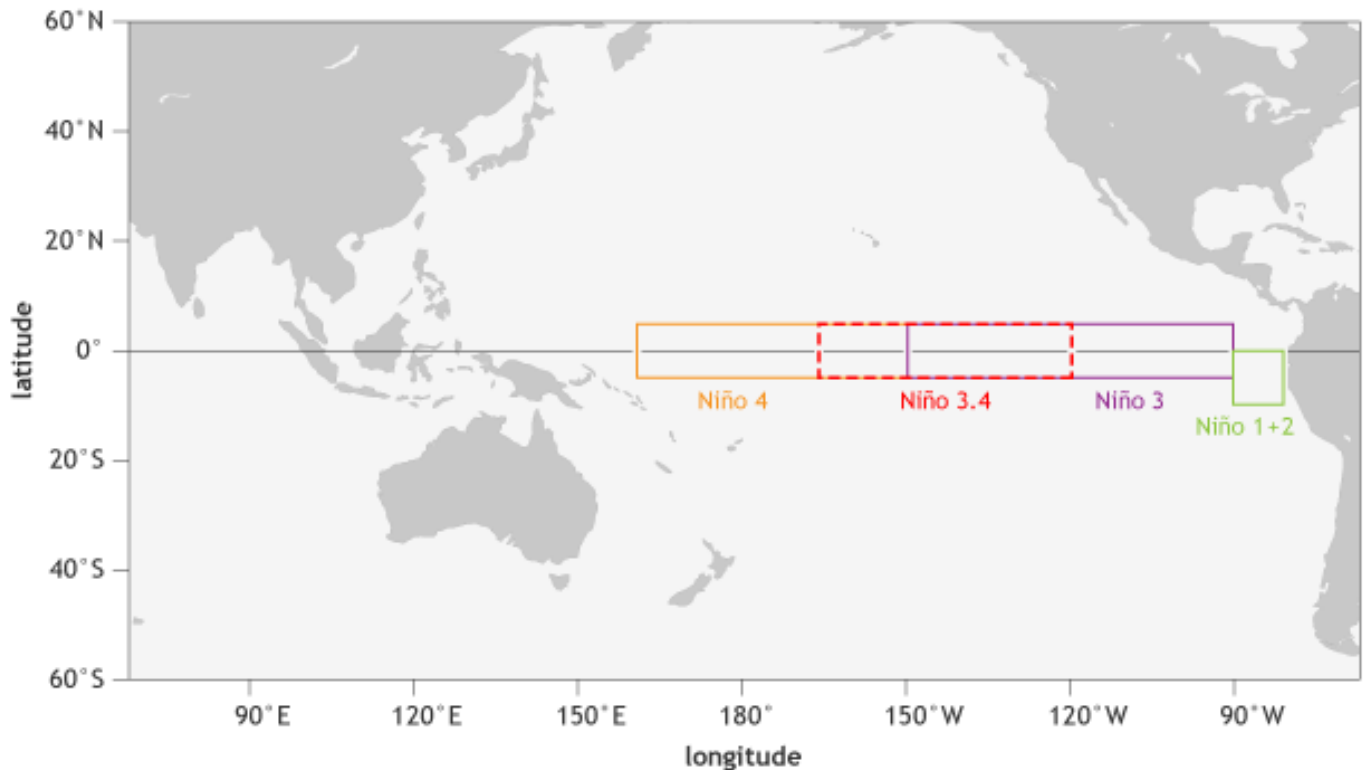
ดัชนี Oceanic Niño Index (ONI) เป็นดัชนีหลักของ NOAA ที่**ใช้ติดตามองค์ประกอบด้านมหาสมุทรของ ENSO** (El Niño–Southern Oscillation) ซึ่งเป็นรูปแบบความแปรปรวนของภูมิอากาศที่ประกอบด้วยภาวะเอลนีโญและลานีญา

ONI คำนวณจากค่าเฉลี่ยเคลื่อนที่ (Rolling average) ของความเบี่ยงเบน**อุณหภูมิผิวน้ำทะเลในช่วง 3 เดือน** โดยเปรียบเทียบกับค่าปกติของอุณหภูมิผิวน้ำทะเลบริเวณมหาสมุทรแปซิฟิกเขตร้อนตอนกลางก่อนไปทางตะวันออกใกล้กับเส้นแบ่งเขตวันสากล (International Dateline) **ค่าดัชนี ONI ที่มีค่า +0.5°C หรือสูงกว่า บ่งชี้ถึงภาวะเอลนีโญ (El Niño) ส่วนค่าดัชนีที่มีค่า -0.5°C หรือต่ำกว่า บ่งชี้ถึงภาวะลานีญา (La Niña)**

The Oceanic Niño Index (ONI)

ตำแหน่งของพื้นที่ต่าง ๆ ในมหาสมุทรแปซิฟิกเขตร้อนที่**ใช้สำหรับติดตามอุณหภูมิผิวน้ำทะเล** โดยอุณหภูมิผิวน้ำทะเลในบริเวณ Niño-3.4 ซึ่งครอบคลุมช่วงลองจิจูด 120°W ถึง 170°W เมื่อนำมาคำนวณเป็นค่าเฉลี่ย **3 เดือน จะใช้เป็นดัชนี Oceanic Niño Index (ONI) อย่างเป็นทางการของ NOAA** ภาพจาก NOAA Climate.gov จัดทำโดย Fiona Martin

Sea surface temperature



ที่มา: National Weather Service. เข้าถึงจาก <https://www.climate.gov/news-features/understanding-climate/climate-variability-oceanic-nino-index>

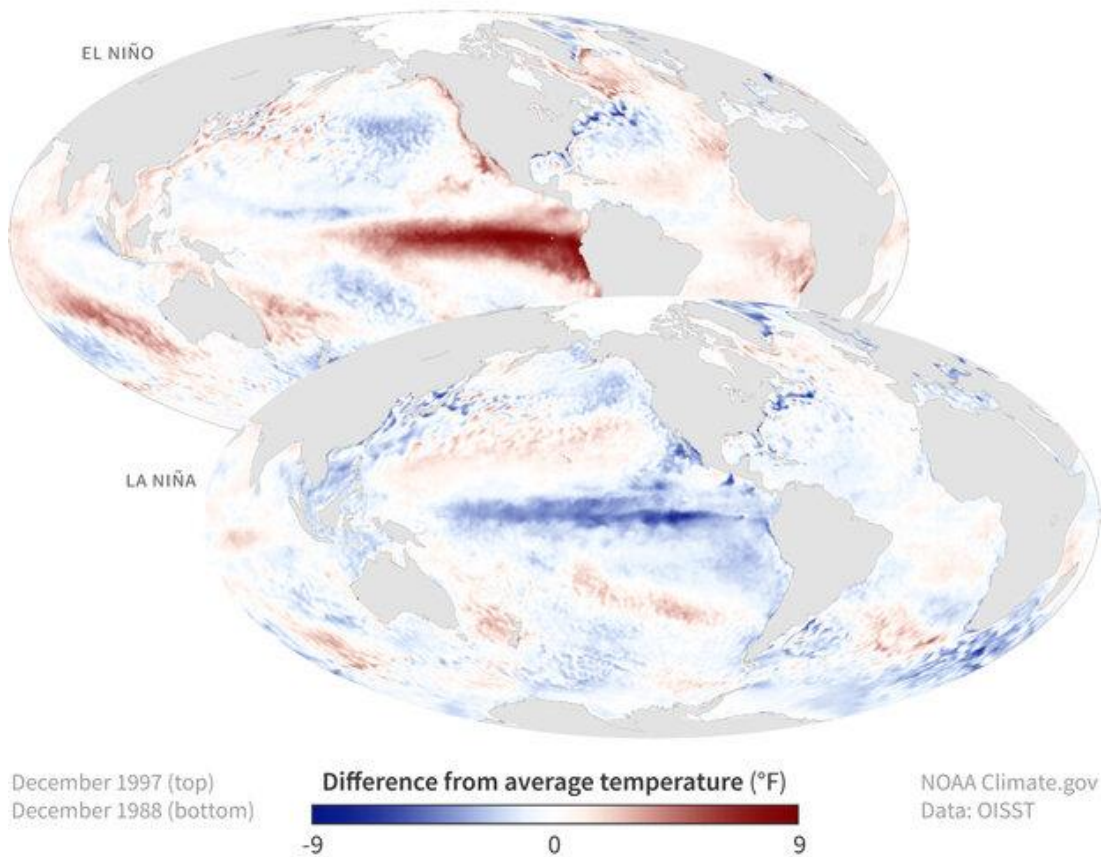
NOAA พิจารณาว่ามี**สภาวะเอลนีโญ (El Niño) เกิดขึ้นในมหาสมุทร** เมื่อค่า ONI ในบริเวณ Niño-3.4 มีค่า **+0.5°C หรือสูงกว่า** ซึ่งหมายความว่าอุณหภูมิผิวน้ำทะเลในบริเวณมหาสมุทรแปซิฟิกเขตร้อนตอนกลางค่อนข้างอุ่นกว่าค่าเฉลี่ยปกติอย่างน้อย 0.5°C (หรือ 0.9°F)

ในทางตรงกันข้าม NOAA พิจารณาว่ามี**สภาวะลานีญา (La Niña) เกิดขึ้นในมหาสมุทร** เมื่อค่า ONI มีค่า **-0.5°C หรือต่ำกว่า** ซึ่งบ่งชี้ว่าอุณหภูมิผิวน้ำทะเลในบริเวณดังกล่าวต่ำกว่าค่าเฉลี่ยปกติอย่างน้อย 0.5°C

The Oceanic Niño Index (ONI)

แม้ว่าดัชนี ONI จะใช้ติดตามอุณหภูมิผิวน้ำทะเลเฉพาะในบริเวณ Niño-3.4 เท่านั้น แต่**เมื่อเกิดเหตุการณ์เอลนีโญหรือลานีญาที่รุนแรง** โดยทั่วไปแล้ว มหาสมุทรแปซิฟิกเขตร้อนตอนกลางและตะวันออกทั้งหมด**จะมีอุณหภูมิสูงกว่าหรือต่ำกว่าค่าปกติอย่างชัดเจน**

ONI TEMPERATURE PATTERNS



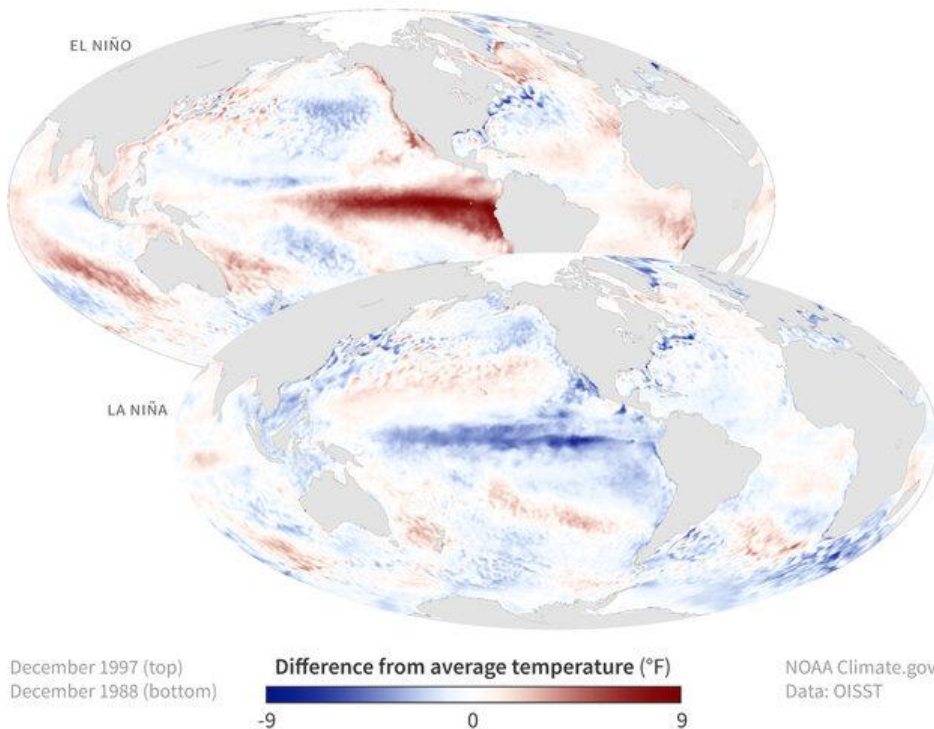
ที่มา: National Weather Service. เข้าถึงจาก <https://www.climate.gov/news-features/understanding-climate/climate-variability-oceanic-nino-index>

เอลนีโญ (El Niño) ทำให้อุณหภูมิผิวน้ำทะเลในมหาสมุทรแปซิฟิกเขตร้อนตอนกลางและตะวันออก**สูงกว่าค่าปกติ** บางครั้งความผิดปกติดังกล่าวแผ่ขยายไปจนถึงชายฝั่งตะวันตกของทวีปอเมริกาใต้ ในบริเวณผิวน้ำทะเล ลมตะวันออกประจำเขตร้อน (ลมสินค้า หรือ Trade Winds) จะอ่อนกำลังลง หรือในบางกรณีอาจเปลี่ยนทิศทางได้ **บริเวณน้ำทะเลอุ่นในแปซิฟิกเขตร้อนตอนกลางและตะวันออกจะมีปริมาณฝนเพิ่มขึ้น ขณะที่อินโดนีเซียและแปซิฟิกตะวันตกจะมีปริมาณฝนลดลง**

The Oceanic Niño Index (ONI)

ลานีญา (La Niña) ทำให้อุณหภูมิผิวน้ำทะเลในมหาสมุทรแปซิฟิกเขตร้อนตอนกลางและตะวันออก**ต่ำกว่าค่าปกติ** และบางครั้งอาจขยายตัวไปถึงชายฝั่งตะวันตกของทวีปอเมริกาใต้เช่นกัน ลมตะวันออกประจำเขตร้อน (Trade Winds) จะแรงกว่าปกติ **บริเวณน้ำทะเลที่เย็นกว่าปกติในแปซิฟิกเขตร้อนตอนกลางและตะวันออกจะมีปริมาณฝนลดลง ขณะที่อินโดนีเซียและแปซิฟิกตะวันตกจะมีปริมาณฝนเพิ่มขึ้น**

ONI TEMPERATURE PATTERNS



ที่มา: National Weather Service. เข้าถึงจาก <https://www.climate.gov/news-features/understanding-climate/climate-variability-oceanic-nino-index>

ภาวะเป็นกลาง (ENSO-neutral) หมายถึง **สภาวะที่ไม่ปรากฏลักษณะของเอลนีโญหรือลานีญาอย่างชัดเจนทั้งในมหาสมุทรและบรรยากาศบางครั้ง** คำว่า **“ภาวะเป็นกลาง”** หมายถึง **ทั้งมหาสมุทรและบรรยากาศมีสภาพใกล้เคียงค่าปกติจริง ๆ** แต่ในบางกรณี มหาสมุทรอาจมีคุณสมบัติเข้าข่ายเอลนีโญหรือลานีญาแล้ว ขณะที่บรรยากาศยังไม่ตอบสนองตามสถานการณ์ดังกล่าวยังถือว่าเป็น ENSO-neutral เนื่องจากหากมหาสมุทรและบรรยากาศยังไม่ทำงานสอดคล้องกันอย่างสมบูรณ์ (เรียกว่า Ocean-Atmosphere Coupling) ENSO ก็ยังไม่สามารถพัฒนาเป็นเหตุการณ์ที่สมบูรณ์และส่งผลกระทบต่อภูมิอากาศโลกได้อย่างเต็มที่

The Oceanic Niño Index (ONI)

ENSO เป็นรูปแบบความแปรปรวนของภูมิอากาศในระดับฤดูกาล (Seasonal Scale) ไม่ใช่ปรากฏการณ์ที่เปลี่ยนแปลงจากวันต่อวันหรือสัปดาห์ต่อสัปดาห์

ในการคำนวณดัชนี ONI นักวิทยาศาสตร์ของศูนย์พยากรณ์ภูมิอากาศ (Climate Prediction Center: CPC) ของ NOAA จะคำนวณค่าเฉลี่ยอุณหภูมิผิวน้ำทะเลในบริเวณ Niño-3.4 สำหรับแต่ละเดือน โดยใช้ข้อมูลตรวจวัดจากแหล่งต่าง ๆ ในมหาสมุทร เช่น

- กุ่มลอยอัตโนมัติ (Autonomous Floats)
- กุ่มตรวจอากาศและสมุทรศาสตร์แบบยึดตรึง (Moored Buoys)
- เรือสำรวจทางทะเล (Ship Cruises)

ข้อมูลที่รวบรวมได้จะถูกนำมาผสานรวมเป็นค่าเฉลี่ยรายเดือนเพียงค่าเดียว จากนั้นจึงนำค่าเฉลี่ยของเดือนนั้นมาหาค่าเฉลี่ยร่วมกับเดือนก่อนหน้าและเดือนถัดไป **ค่าเฉลี่ยเคลื่อนที่ 3 เดือน** (Running Three-Month Average) ที่ได้ จะถูกนำไป **เปรียบเทียบกับค่าเฉลี่ยระยะยาว 30 ปี**

ผลต่างระหว่างอุณหภูมิที่สังเกตได้กับค่าเฉลี่ยปกติของพื้นที่ดังกล่าว ไม่ว่าจะอุ่นกว่าหรือเย็นกว่าปกติ **จะเป็นค่าดัชนี ONI สำหรับช่วงเวลา 3 เดือนนั้น** (หรือที่เรียกว่า “ฤดูกาล” ในการติดตาม ENSO)

ONI เป็นเพียงหนึ่งในดัชนีที่ใช้วัดปรากฏการณ์ El Niño–Southern Oscillation (ENSO) และยังจำเป็นต้องพิจารณาดัชนีอื่น ๆ ร่วมด้วย เพื่อยืนยันว่าช่วงเวลาดังกล่าวมีลักษณะสอดคล้องกับปรากฏการณ์ที่มหาสมุทรและบรรยากาศเชื่อมโยงกัน (Coupled Ocean–Atmosphere Phenomenon) จริงหรือไม่

Year	DJF	JFM	FMA	MAM	AMJ	MJJ	JJA	JAS	ASO	SON	OND	NDJ
2020	0.6	0.6	0.5	0.3	0.0	-0.2	-0.4	-0.5	-0.8	-1.1	-1.2	-1.1
2021	-0.9	-0.8	-0.7	-0.5	-0.4	-0.3	-0.3	-0.4	-0.6	-0.8	-0.9	-0.9
2022	-0.8	-0.8	-0.9	-1.0	-0.9	-0.8	-0.8	-0.9	-1.0	-0.9	-0.8	-0.7
2023	-0.5	-0.3	0.0	0.3	0.6	0.8	1.1	1.4	1.6	1.8	2.0	2.1
2024	1.9	1.6	1.3	0.8	0.5	0.2	0.1	-0.1	-0.2	-0.2	-0.3	-0.4
2025	-0.4	-0.2	-0.1	0.0	0.0	0.0	-0.1	-0.3	-0.4	-0.5	-0.6	-0.5
2026	-0.4	-0.1	0.1	0.5								

ที่มา: National Weather Service. เข้าถึงจาก https://www.cpc.ncep.noaa.gov/products/analysis_monitoring/ensostuff/ONI_v5.php

สรุปสถานการณ์ (Synopsis) อัปเดตเมื่อ 11 มิถุนายน 2569

ค่าดัชนี Niño-3.4 รายสัปดาห์ล่าสุดอยู่ที่ $+0.7^{\circ}\text{C}$ ขณะที่ดัชนีบริเวณด้านตะวันตกสุด (Niño-4) และด้านตะวันออกสุด (Niño-1+2) มีค่า $+0.7^{\circ}\text{C}$ และ $+2.1^{\circ}\text{C}$ ตามลำดับ **บ่งชี้ว่าภาวะลานีญาในช่วงปี 2025 ได้สิ้นสุดลงแล้ว และภาวะเอลนีโญได้ก่อตัวขึ้นในช่วงกลางปี 2026**

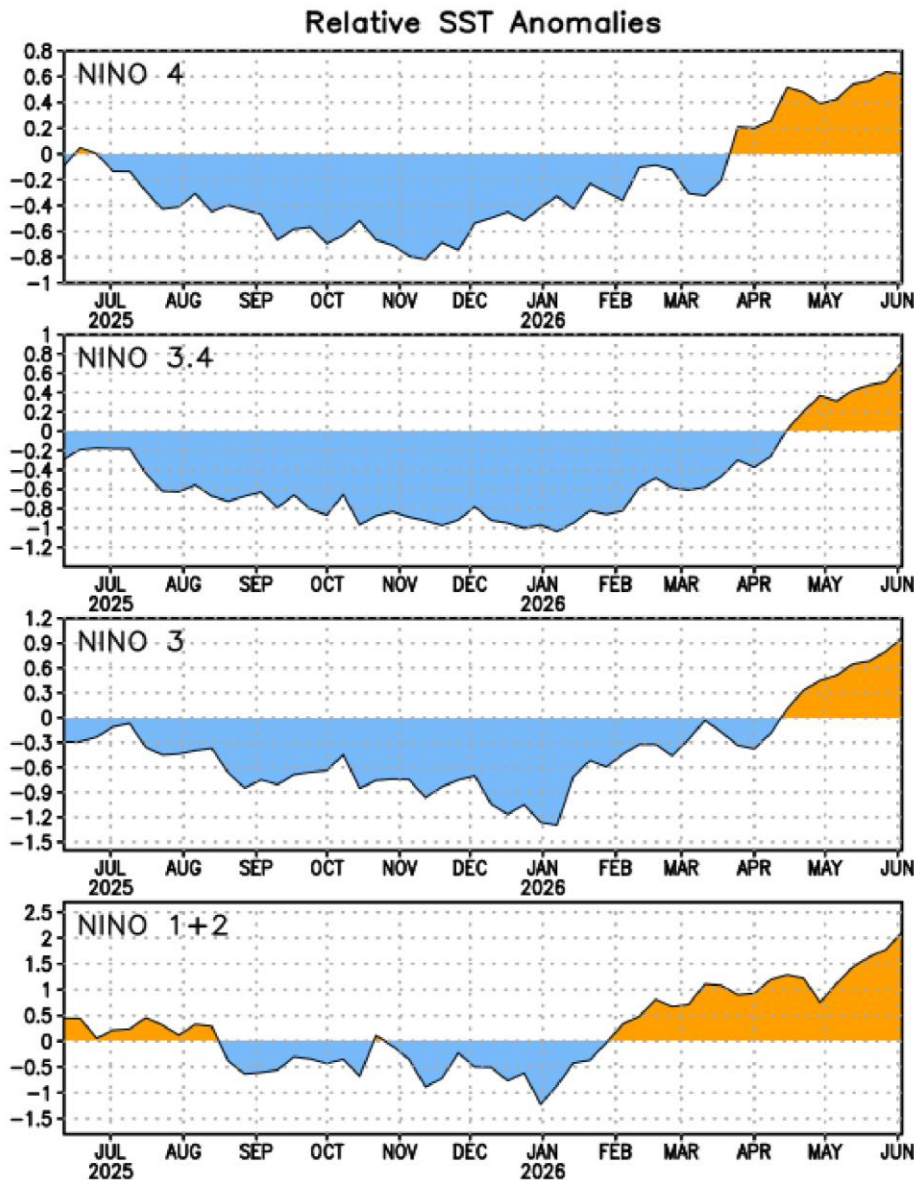


Figure 2. Time series of area-averaged relative sea surface temperature (SST) anomalies ($^{\circ}\text{C}$) in the Niño regions [Niño-4 (5°N - 5°S , 160°E - 150°W), Niño-3.4 (5°N - 5°S , 170°W - 120°W), Niño-3 (5°N - 5°S , 150°W - 90°W), Niño-1+2 (0° - 10°S , 90°W - 80°W) minus tropical mean (20°N - 20°S). The relative indices are re-scaled to match the variance of traditional indices. Anomalies are departures from the 1991-2020 base period weekly means.

ที่มา: National Weather Service. ھاองจาก https://www.cpc.ncep.noaa.gov/products/analysis_monitoring/ens0_advisory/ensodisc.shtml

สรุปสถานการณ์ (Synopsis) อัปเดตเมื่อ 11 มิถุนายน 2569

EQ. Upper-Ocean Heat Anoms. (deg C) for 180-100W

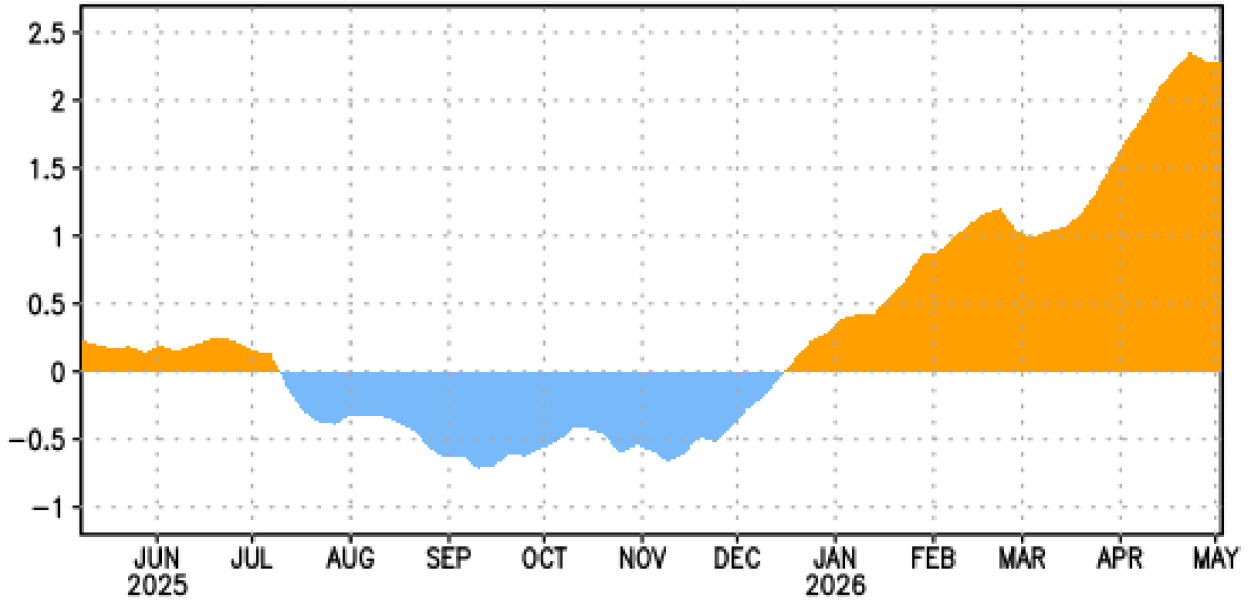


Figure 3. Area-averaged upper-ocean (0-300m) heat content anomaly ($^{\circ}\text{C}$) in the equatorial Pacific (5°N - 5°S , 180° - 100°W). The heat content anomaly is computed as the departure from the 1991-2020 base period pentad means.

ที่มา: National Weather Service. เข้าถึงจาก https://www.cpc.ncep.noaa.gov/products/analysis_monitoring/enso_advisory/ensodisc.shtml

ความร้อนส่วนเกินส่วนใหญ่ที่สะสมอยู่ในบรรยากาศจะถูกถ่ายเทกลับลงสู่มหาสมุทรส่งผลให้ **ปริมาณความร้อนสะสมในมหาสมุทรชั้นบน (Upper Ocean Heat Content) เพิ่มขึ้นอย่างมากในช่วงหลายทศวรรษที่ผ่านมา**

โดยชั้นน้ำทะเลตื้นบนสะสมความร้อนได้เร็วกว่าชั้นน้ำลึก ความร้อนที่กักเก็บอยู่ในมหาสมุทรสามารถส่งผลต่อสภาพภูมิอากาศและทำให้โลกร้อนขึ้นต่อเนื่องได้อีกหลายทศวรรษ **หากมหาสมุทรดูดซับความร้อนมากกว่าที่ปลดปล่อยออกมา ปริมาณความร้อนสะสมในมหาสมุทร (Ocean Heat Content) จะเพิ่มสูงขึ้น**

จากภาพเป็นค่าเฉลี่ยความเบี่ยงเบนของปริมาณความร้อนในมหาสมุทร (Ocean Heat Content) ชั้นบน (ความลึก 0-300 เมตร) หน่วยองศาเซลเซียส ในบริเวณมหาสมุทรแปซิฟิกเขตร้อนตามแนวเส้นศูนย์สูตร (5°N - 5°S , 180° - 100°W) **แสดงให้เห็นว่าความร้อนใต้ผิวทะเลในแปซิฟิกเขตร้อนเพิ่มขึ้นอย่างมากตั้งแต่ปลายปี 2025**

สรุปสถานการณ์ (Synopsis) อัปเดตเมื่อ 11 มิถุนายน 2569

EQ. Subsurface Temperature Anomalies (deg C)

Pentad centered on 02 JUN 2026

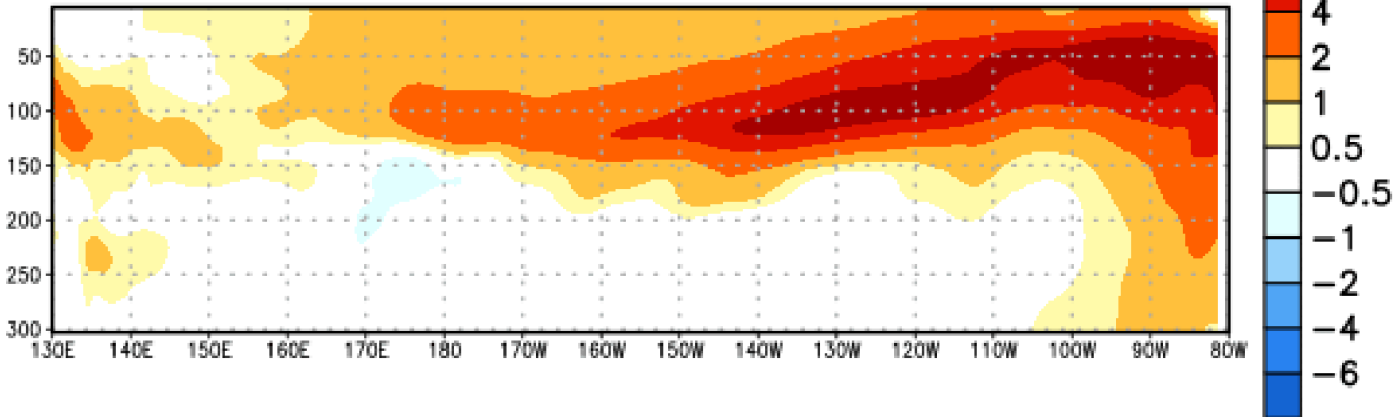


Figure 4. Depth-longitude section of equatorial Pacific upper-ocean (0-300m) temperature anomalies ($^{\circ}\text{C}$) centered on the pentad of 2 June 2026. Anomalies are departures from the 1991-2020 base period pentad means.

ที่มา: National Weather Service. เข้าถึงจาก https://www.cpc.ncep.noaa.gov/products/analysis_monitoring/enso_advisory/ensodisc.shtml

อุณหภูมิใต้ผิวน้ำทะเลที่สูงกว่าค่าเฉลี่ยอย่างมีนัยสำคัญยังคงปรากฏอยู่ บริเวณมหาสมุทรแปซิฟิกเขตร้อนตามแนวเส้นศูนย์สูตรตอนกลางและตะวันออก

อุณหภูมิใต้ผิวน้ำมหาสมุทร (Subsurface Temperature) เป็นตัวแปรพื้นฐานที่มีความสำคัญอย่างยิ่งในการติดตามความแปรปรวนและการเปลี่ยนแปลงของสภาพแวดล้อมทางกายภาพของมหาสมุทร การไหลเวียนของพลังงานรูปแบบภูมิอากาศ และระดับน้ำทะเล

จากภาพ แสดงการตัดขวางตามแนวความลึกและลองจิจูดของความผิดปกติของอุณหภูมิน้ำทะเล ($^{\circ}\text{C}$) ในมหาสมุทรแปซิฟิกบริเวณเส้นศูนย์สูตรชั้นบน (ความลึก 0–300 เมตร) โดยอ้างอิงข้อมูลเฉลี่ยช่วง 5 วัน (Pentad) ที่มีศูนย์กลางอยู่ในวันที่ 2 มิถุนายน 2026 **โดยสีแดงเข้มบริเวณใกล้ 120°W – 90°W พบความผิดปกติสูงมากกว่า $+6^{\circ}\text{C}$ ซึ่งหมายถึงอุณหภูมิใต้ผิวน้ำทะเลสูงกว่าค่าปกติมาก**

ซึ่งหมายความว่า ยังมีการสะสมพลังงานความร้อนจำนวนมากอยู่ใต้ผิวน้ำทะเล และมวลน้ำอุ่นนี้สามารถเคลื่อนขึ้นสู่ผิวน้ำได้ในอนาคต จึง **เป็นปัจจัยสำคัญที่สนับสนุนการพัฒนาหรือการคงอยู่ของ El Niño ในช่วงต่อไป**

สรุปสถานการณ์ (Synopsis) อัปเดตเมื่อ 11 มิถุนายน 2569

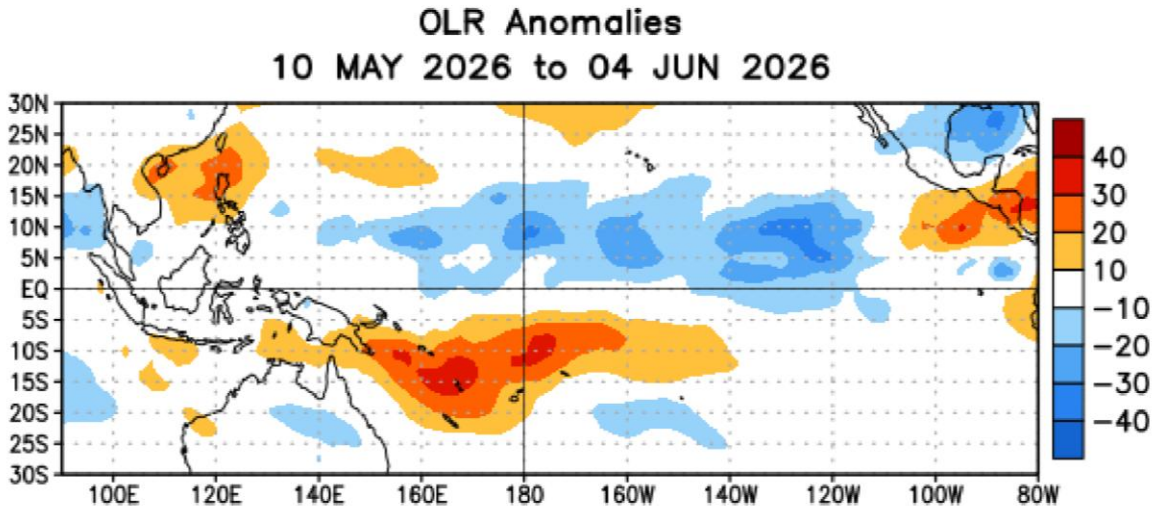


Figure 5. Average outgoing longwave radiation (OLR) anomalies (W/m^2) for the period 10 May – 4 June 2026. OLR anomalies are computed as departures from the 1991-2020 base period pentad means.

ที่มา: National Weather Service. เข้าถึงจาก https://www.cpc.ncep.noaa.gov/products/analysis_monitoring/enso_advisory/ensodisc.shtml

จากภาพ ค่าเฉลี่ยความเบี่ยงเบนของรังสีคลื่นยาวที่แผ่ออกจากโลก (**Outgoing Longwave Radiation: OLR**) หน่วยวัตต์ต่อตารางเมตร (W/m^2) สำหรับช่วงวันที่ 10 พฤษภาคม – 4 มิถุนายน 2026 โดยค่าความเบี่ยงเบนดังกล่าวคำนวณจากความแตกต่างเมื่อเทียบกับค่าเฉลี่ยในช่วงฐานอ้างอิง ค.ศ. 1991–2020 ในช่วงเวลา 5 วัน (Pentad Mean)

พบความผิดปกติของลมตะวันตกในระดับล่าง (Low-level Westerly Wind Anomalies) และความผิดปกติของลมตะวันออกในระดับบน (Upper-level Easterly Wind Anomalies) เหนือบริเวณมหาสมุทรแปซิฟิกเขตร้อนตอนกลาง นอกจากนี้ การยกตัวของอากาศและการเกิดเมฆฝน (Convection) มีค่ามากกว่าค่าเฉลี่ยเล็กน้อยบริเวณแปซิฟิกเขตร้อนตอนกลางและตอนกลางค่อนข้างไปทางตะวันออก ขณะที่บริเวณอินโดนีเซียมีค่าใกล้เคียงหรือต่ำกว่าค่าเฉลี่ย

ดัชนีความผันผวนของความกดอากาศซีกโลกใต้ (Southern Oscillation Index: SOI) ทั้งแบบดั้งเดิมและแบบเส้นศูนย์สูตรมีค่าเป็นลบ โดยภาพรวมระบบมหาสมุทรและบรรยากาศที่เชื่อมโยงกัน (Coupled Ocean–Atmosphere System) สะท้อนให้เห็นถึงการเริ่มต้นของภาวะเอลนีโญ (El Niño)

สรุปสถานการณ์ (Synopsis) อัปเดตเมื่อ 11 มิถุนายน 2569



NWS/NCEP/CPC

Last update: Mon Jun 8 2026
Initial conditions: 28May2026-6Jun2026

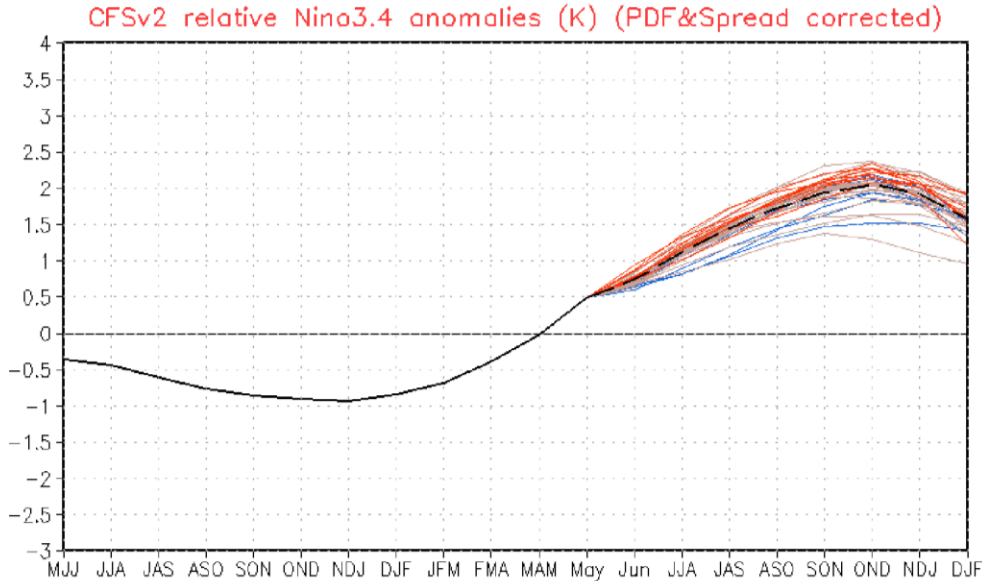


Figure 6. NCEP Climate Forecast System (CFSv2) prediction of relative sea surface temperature anomalies for the Niño 3.4 index (5°N-5°S, 170°W-120°W) minus tropical mean (20°N-20°S). The relative index is re-scaled to match the variance of the traditional index. Figure updated 8 June 2026.

ที่มา: National Weather Service. เข้าถึงจาก https://www.cpc.ncep.noaa.gov/products/analysis_monitoring/enso_advisory/ensodisc.shtml

จากภาพ การคาดการณ์ค่าความเบี่ยงเบนของอุณหภูมิผิวน้ำทะเลสัมพัทธ์ (Relative SST Anomaly) สำหรับดัชนี Niño-3.4 (5°N-5°S, 170°W-120°W) เมื่อเทียบกับค่าเฉลี่ยของเขตร้อน (20°N-20°S) จากแบบจำลอง NCEP Climate Forecast System Version 2 (CFSv2) ดัชนีสัมพัทธ์ดังกล่าวได้รับการปรับสเกลใหม่เพื่อให้มีความแปรปรวนสอดคล้องกับดัชนีแบบดั้งเดิม โดยรูปนี้ปรับปรุงข้อมูลล่าสุดเมื่อวันที่ 8 มิถุนายน 2026

แบบจำลอง CFSv2 **คาดการณ์ว่า El Niño ที่เริ่มก่อตัวในช่วงกลางปี 2026 จะทวีกำลังแรงขึ้นต่อเนื่อง และมีแนวโน้มรุนแรงที่สุดในช่วงปลายปี 2026 ถึงต้นปี 2027** โดยค่า Niño-3.4 อาจสูงถึงประมาณ +2°C หรือมากกว่า ซึ่งสอดคล้องกับการประเมินของ NOAA ที่ระบุว่า El Niño จะดำรงอยู่และรุนแรงขึ้นในช่วงฤดูหนาวของซีกโลกเหนือ ปี 2026-27

สรุปสถานการณ์ (Synopsis) อัปเดตเมื่อ 11 มิถุนายน 2569

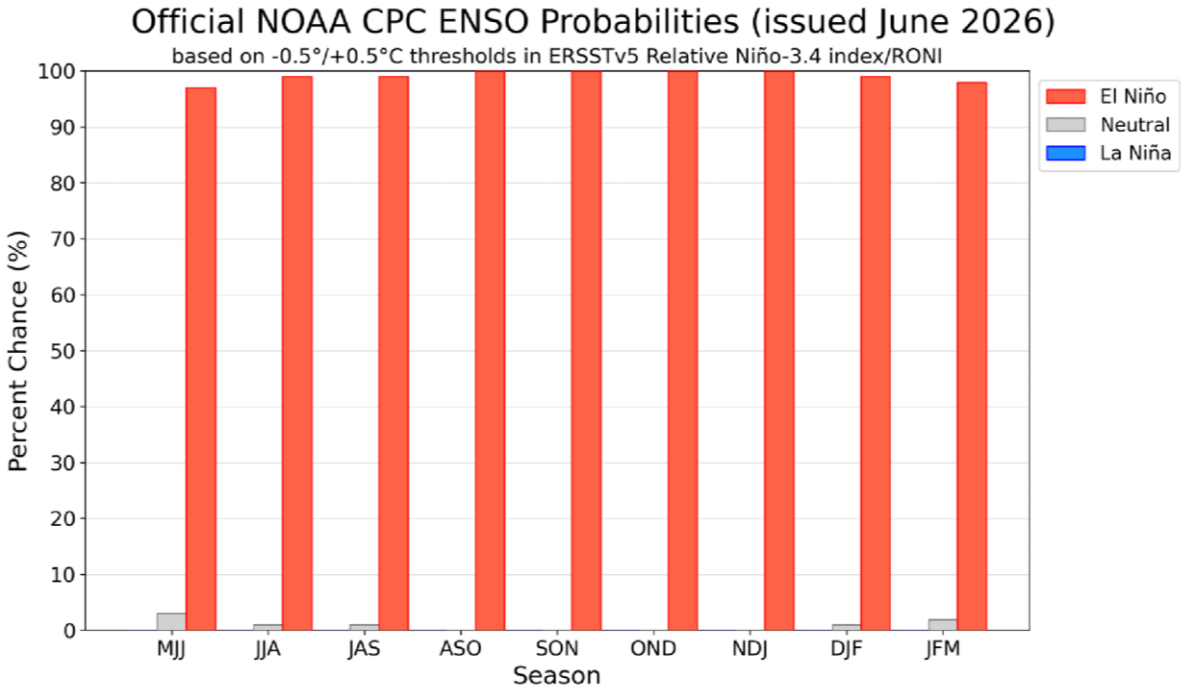


Figure 7. Official ENSO probabilities for the Niño 3.4 relative sea surface temperature index ($5^{\circ}\text{N}-5^{\circ}\text{S}$, $170^{\circ}\text{W}-120^{\circ}\text{W}$) minus tropical mean ($20^{\circ}\text{N}-20^{\circ}\text{S}$). The relative index is re-scaled to match the variance of the traditional index. Figure updated 11 June 2026. Higher resolution image/table: https://cpc.ncep.noaa.gov/products/analysis_monitoring/enso/roni/probabilities/

ที่มา: National Weather Service. เข้าถึงจาก https://www.cpc.ncep.noaa.gov/products/analysis_monitoring/enso_advisory/ensodisc.shtml

จากภาพ ความน่าจะเป็นอย่างเป็นทางการของสถานะ ENSO โดยอ้างอิงจากดัชนีอุณหภูมิผิวน้ำทะเลสัมพัทธ์บริเวณ Niño-3.4 ($5^{\circ}\text{N}-5^{\circ}\text{S}$, $170^{\circ}\text{W}-120^{\circ}\text{W}$) เมื่อเทียบกับค่าเฉลี่ยของเขตร้อน ($20^{\circ}\text{N}-20^{\circ}\text{S}$) ดัชนีสัมพัทธ์ดังกล่าวได้รับการปรับสเกลใหม่เพื่อให้มีความแปรปรวนสอดคล้องกับดัชนีแบบดั้งเดิม โดยรูปนี้ปรับปรุงข้อมูลล่าสุดเมื่อวันที่ 11 มิถุนายน 2026

คาดว่าภาวะเอลนีโญจะทวีกำลังแรงขึ้นต่อไปจนถึงช่วงฤดูหนาวของซีกโลกเหนือ ปี 2026-27 และมีความเชื่อมั่นสูงต่อการเกิดและการดำรงอยู่ของภาวะเอลนีโญ โดยมีความเชื่อมโยงกับปริมาณความร้อนสะสมในมหาสมุทรที่สูงกว่าปกติอย่างมาก และการขยายตัวของลมตะวันตกผิดปกติ (Westerly Wind Anomalies) ตามแนวมหาสมุทรแปซิฟิกเขตร้อน นอกจากนี้ **ยังมีโอกาสร้อยละ 63 ที่เอลนีโญจะพัฒนาเป็น “เอลนีโญรุนแรงมาก (Very Strong El Niño)” ในช่วงเดือนพฤศจิกายนถึงมกราคม**

สรุปสถานการณ์ (Synopsis) อัปเดตเมื่อ 11 มิถุนายน 2569

NOAA CPC ENSO Strength Probabilities (issued June 2026)

based on thresholds in ERSSTv5 Relative Niño-3.4 index/RONI

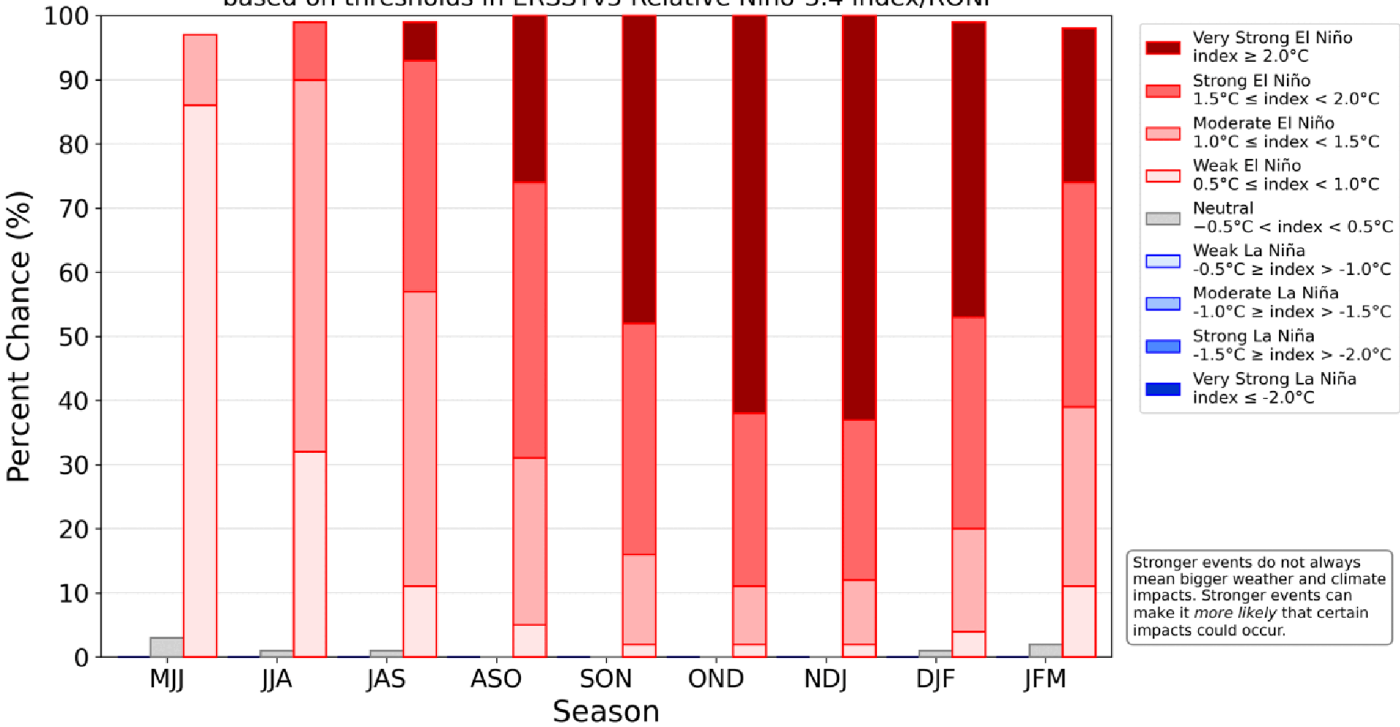


Figure 8. ENSO strength probabilities for the Niño 3.4 relative sea surface temperature index (5°N-5°S, 170°W-120°W) minus tropical mean (20°N-20°S). The relative index is re-scaled to match the variance of the traditional index. Figure updated 11 June 2026. Higher resolution image/table: https://cpc.ncep.noaa.gov/products/analysis_monitoring/enso/roni/strengths/

ที่มา: National Weather Service. เข้าถึงจาก https://www.cpc.ncep.noaa.gov/products/analysis_monitoring/enso_advisory/ensodisc.shtml

ซึ่งจะจัดอยู่ในกลุ่มเหตุการณ์เอลนีโญที่รุนแรงที่สุดเหตุการณ์หนึ่งนับตั้งแต่เริ่มมีบันทึกข้อมูลทางประวัติศาสตร์ในปี ค.ศ. 1950

อย่างไรก็ตาม แม้เอลนีโญที่รุนแรงมากจะไม่ก่อให้เกิดผลกระทบตามแบบแผนที่คาดการณ์ไว้ในทุกพื้นที่ของโลก แต่เหตุการณ์ที่มีความรุนแรงมากกว่าจะเพิ่มโอกาสให้เกิดผลกระทบที่คาดหมายไว้ได้มากขึ้น

โดยสรุป **ขณะนี้ภาวะเอลนีโญได้เกิดขึ้นแล้ว และคาดว่าจะทวีกำลังแรงขึ้นต่อเนื่องไปจนถึงช่วงฤดูหนาวของซีกโลกเหนือ ปี 2026-27**